

СХЕМЫ ФОРМИРОВАНИЯ ИМПУЛЬСОВ С ПЕРЕМЕННЫМИ ПАРАМЕТРАМИ

А. И. ЗАЙЦЕВ, А. П. ЗАЙЦЕВ.

В различных устройствах автоматики и телемеханики, в системах импульсного управления электрическими машинами находят применение схемы формирования периодических последовательностей импульсов напряжения с регулируемыми в широких пределах параметрами. Ниже рассматриваются делители частоты повторения импульсов с переменным коэффициентом деления, схема формирования пачек импульсов и широтно-импульсный модулятор, позволяющие формировать импульсы напряжения, синхронизированные с питающим переменным на-

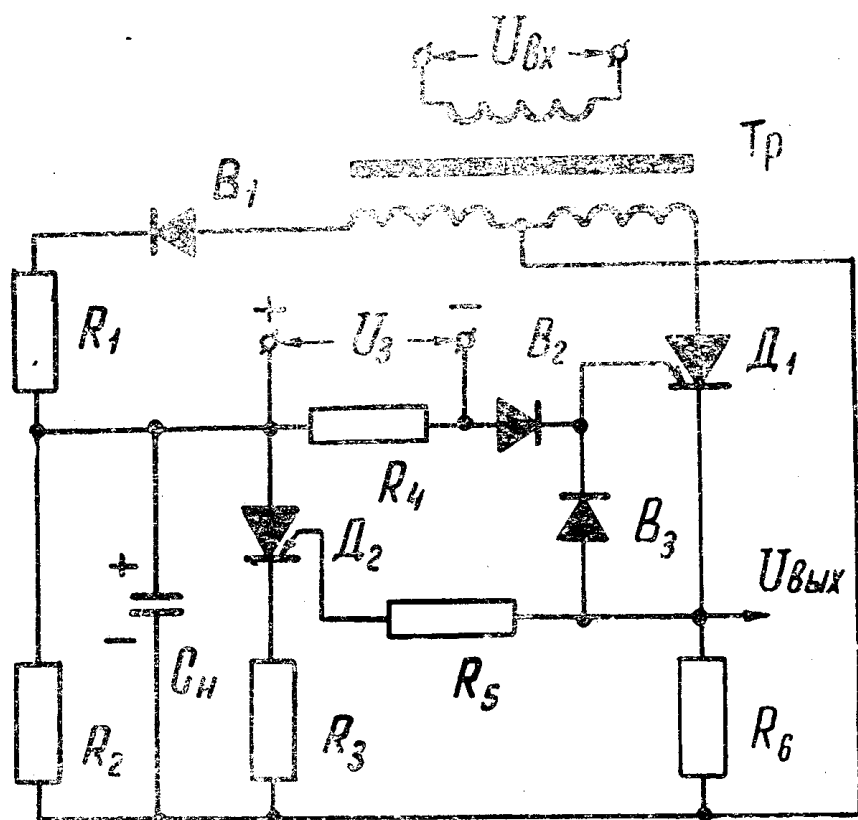


Рис. 1 Схема делителя частоты импульсов с переменным коэффициентом деления

пряжением синусоидальной или прямоугольной формы. Формирование импульсов напряжения осуществляется путем однополупериодного выпрямления и отбора заданных полуволн питающего напряжения. Применение в качестве активных элементов кремниевых управляемых вентилей позволяет выполнять схемы на различную выходную мощность (от нескольких ватт до десятков киловатт в импульсе).

На рис. 1. показан делитель частоты повторения импульсов с переменным коэффициентом деления, содержащий зарядно-разрядную цепь (B_1 , R_1 , R_2 , C_H) и два управляемых полупроводниковых ключа — кремниевые управляемые вентили D_1 и D_2 . При включении схемы C_H заряжается импульсами напряжения, поступающими со вторичной обмотки трансформатора T_P , а в промежутках времени между импульсами разряжается на сопротивление R_2 . Напряжение на C_H нарастает

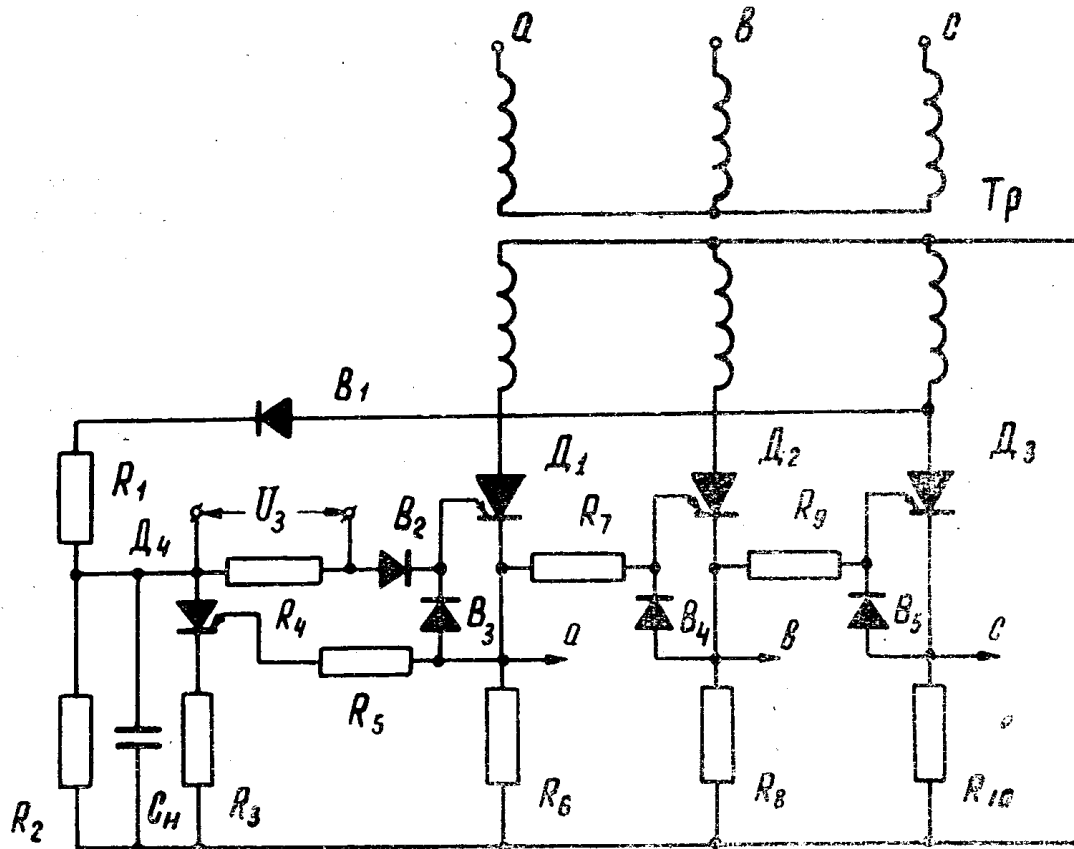


Рис. 2. Схема делителя частоты с трехфазным входным напряжением.

ступенчато и когда станет по абсолютной величине больше задающего напряжения U_3 , в цепи управляющего электрода D_1 возникнет ток. D_1 открывается, а на сопротивлении нагрузки R_6 создается импульс выходного напряжения $U_{\text{вых}}$, под действием которого открывается D_2 . C_H в течение короткого промежутка времени разряжается через открывшийся D_2 на небольшое сопротивление R_3 , ограничивающее ток разряда в допустимых пределах. После окончания проводящего полу периода входного напряжения схема возвращается в исходное состояние, после чего процесс периодически повторяется. Открывание D_1 всегда будет в начале проводящего полупериода напряжения, так как напряжение зарядных импульсов находится в противофазе с последним.

Изменение коэффициента деления осуществляется при помощи задающего напряжения. Диоды B_2 и B_3 исключают действие значительного по величине задающего напряжения на управляющий переход D_1 .

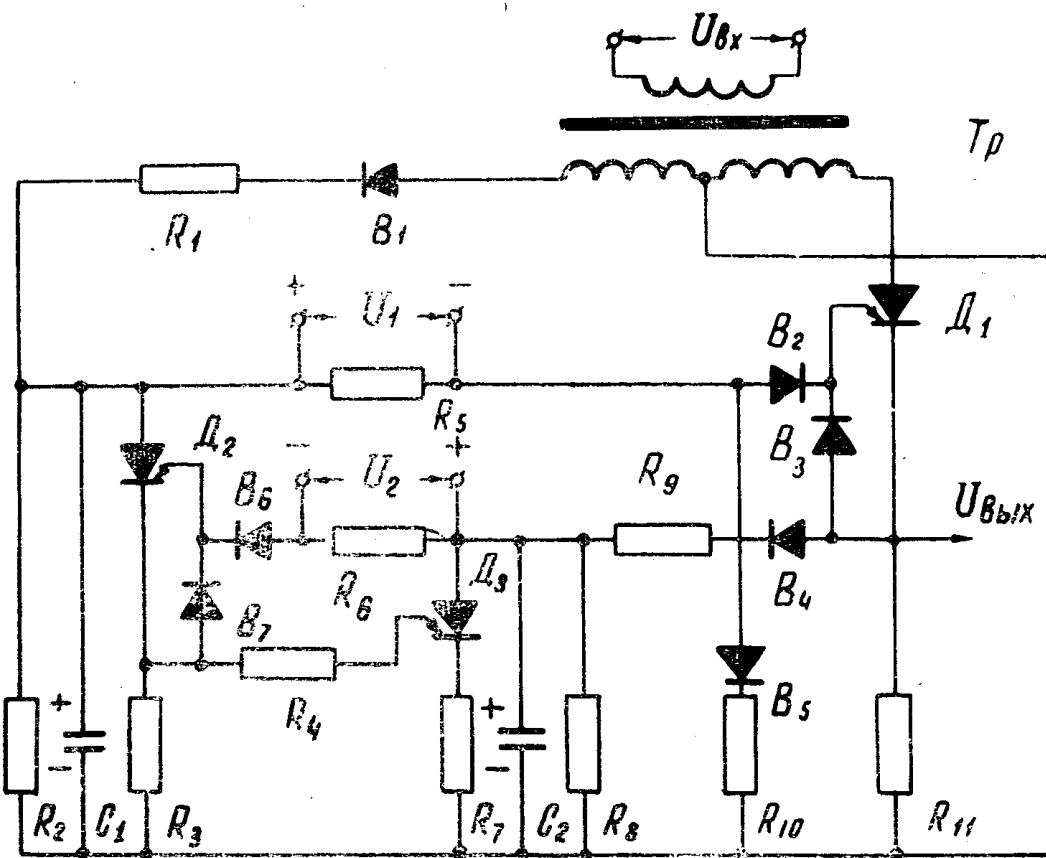


Рис. 3. Схема формирования пачек импульсов.

На рис. 2 изображена схема делителя частоты с трехфазным входным напряжением, представляющая собой сочетание рассмотренного выше делителя частоты и спусковой схемы на D_1 , D_2 , D_3 . Спусковая схема обеспечивает зависимую работу управляемых вентилей. Импульс выходного напряжения в катодной цепи предыдущего управляемого вентиля является запускающим для последующего.

Если в делителе частоты ввести в цепь управляющего электрода разрядного вентиля задержанную обратную связь по выходному напряжению с регулируемой временной задержкой, осуществляющейся при помощи второй зарядно-разрядной цепи, то становится возможным формировать пачки импульсов с раздельным и независимым регулированием количества импульсов в пачке и пауз между пачками. Схема формирования пачек импульсов показана на рис. 3. В отличие от предыдущих схем разрядный вентиль D_2 открывается не первым выходным импульсом, а через некоторое время, определяемое величиной задающего напряжения U_2 и параметрами зарядно-разрядной цепи с накопительным конденсатором C_2 . В течение этого времени D_1 открыт, а напряжение на C_1 ограничено на определенном уровне благодаря шунтирующей цепи B_5 , R_{10} .

Число импульсов в пачке регулируется при помощи задающего напряжения U_2 , а длительность паузы между пачками — при помощи задающего напряжения U_1 .

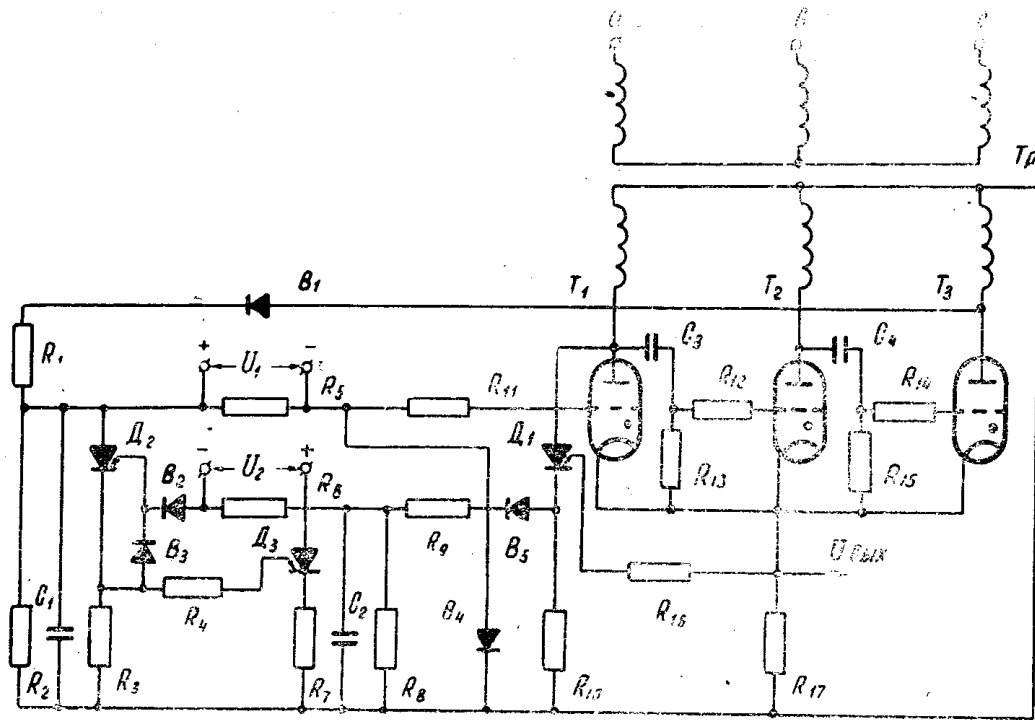
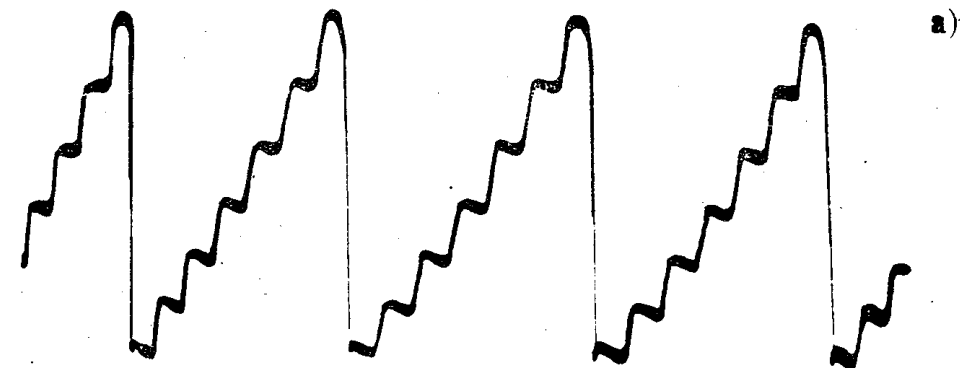


Рис. 4. Схема широтно-импульсного модулятора мощных импульсов.

На рис. 4 приведена принципиальная схема широтно-импульсного модулятора мощных импульсов с раздельным и независимым регулированием длительности импульсов и паузы. Модулятор состоит из схемы формирования пачек импульсов и спусковой схемы на тиаратронах. Особенностью схемы формирования пачек импульсов является включение зарядно-разрядной цепи с накопительным конденсатором C_1 в цепь сетки тиаратрона T_1 . Зажигание T_1 и D_1 происходит одновременно благодаря их зависимому включению, пачка импульсов формируется на сопротивлении R_{10} . Фазосдвигающие RC — цепочки в цепях сеток T_2 и T_3 обеспечивают фазовый сдвиг на 180° анодных и сеточных напряжений тиаратронов. В момент зажигания предыдущего тиаратрона RC — цепочка шунтируется и происходит зажигание следующего тиаратрона. Выходные импульсы формируются на сопротивлении нагрузки R_{17} . Параметры выходных импульсов регулируются при помощи задающих напряжений U_1 и U_2 .



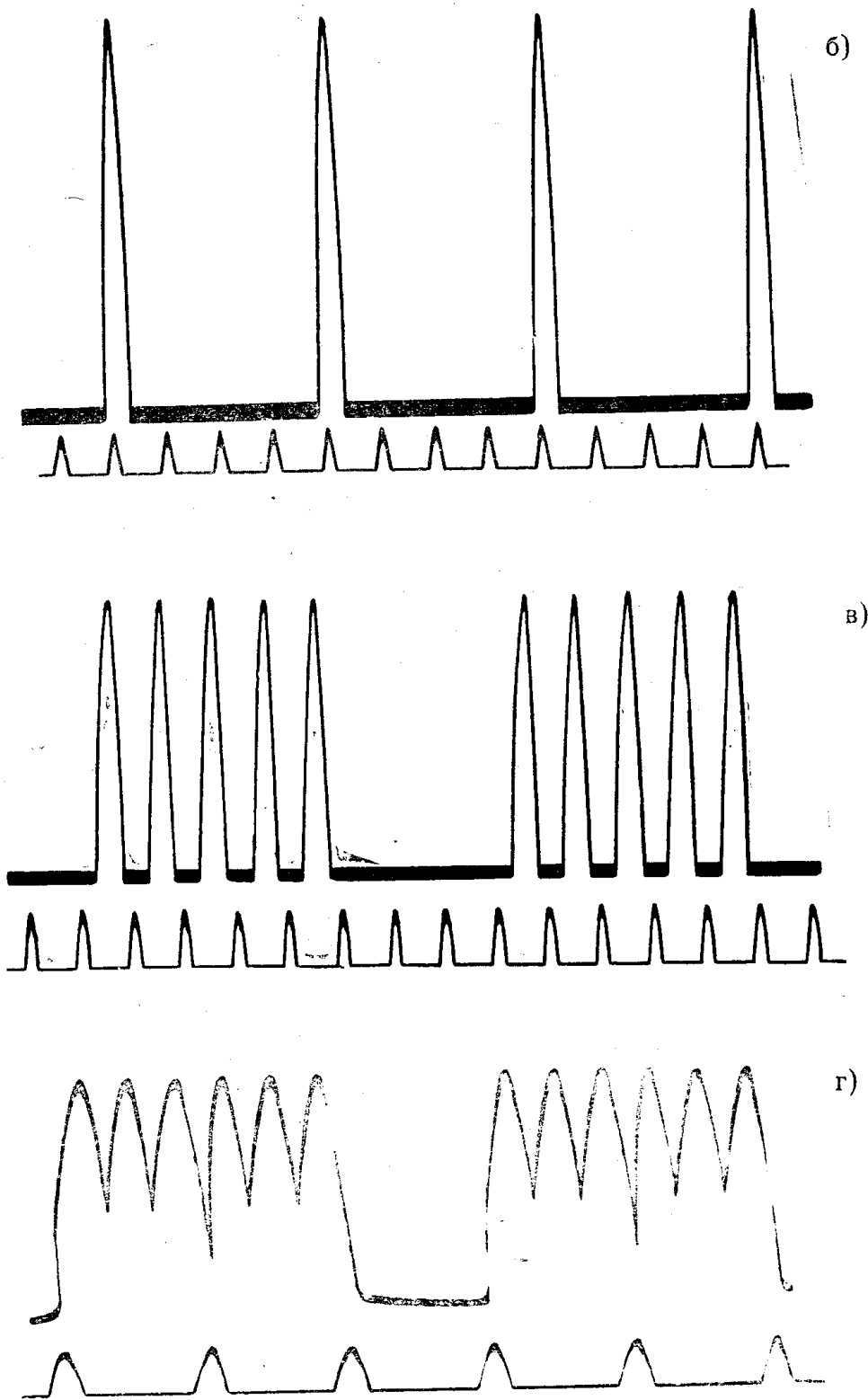


Рис. 5. Осциллографмы напряжений.
 а — напряжение накопительного конденсатора делителя частоты,
 б — выходное напряжение делителя частоты, в — выходное напряжение
 схемы формирования пачек импульсов, г — выходное напряжение
 широтно-импульсного модулятора

В результате анализа работы рассмотренных выше схем получено выражение

$$n = \frac{4\tau_0}{T \left[1,27 \frac{U_0}{U_3} - \left(1 + 2 \frac{r}{R} \right) \right]}, \quad (1)$$

где

n — коэффициент деления, число импульсов в пачке, число пропущенных импульсов (пауза),

r, R — сопротивления заряда и разряда накопительного конденсатора соответственно,

$$\tau_0 = r C,$$

C — емкость накопительного конденсатора,

T — период входного напряжения,

U_0 — амплитуда напряжения зарядных импульсов,

U_3 — величина задающего напряжения.

Длительность паузы и импульсов выходного напряжения широтно-импульсного модулятора определяется по (1) с учетом выражения.

$$t = n T, \quad (2)$$

где t — длительность импульса или паузы.